

# FI 193 – Teoria Quântica de Sistemas de Muitos Corpos

2º Semestre de 2023

05/09/2023

Aula 10

# Formação de momentos magnéticos localizados em metais

. HISTÓRICAMENTE, EXISTIA A SEGUINTE QUESTÃO :  
SE VOCÊ CRESCESSE UM BOM METAL (Cu, Au, Ag) COM UMA PEQUENA CONCENTRAÇÃO DE UM OUTRO ELEMENTO (P. EX., OUTRO METAL DE TRANSIÇÃO, COMO, Fe, Co, Ni, Mn, V ) EM PRINCÍPIO, ESSES ELEMENTOS APRESENTAM, ENQUANTO ÁTOMOS OU ÍONS ISOLADOS, A CARA-PA d INCOMPLETA ( $d^1, d^2, d^3, \dots$ ) E, PORTANTO, COM MOMENTOS ANGULARES (L  $\oplus$  S  $\oplus$  J) NÃO NULOS. A PERGUNTA É : ESSES MOMENTOS LOCALIZADOS SOBREVIVEM NO METAL ?

COMO DETECTAR NO LABORATÓRIO A PRESENÇA DE MOMENTOS MAGNÉTICOS LOCALIZADOS?

A SUSCEPTEBILIDADE MAGNÉTICA OBEDECE, EM ALTAS TEMPERATURAS, A LEI DE CURIE:

$$\chi(T) = \frac{N_i (g\mu_B)^2 J(J+1)}{3k_B T} \sim \frac{1}{T}$$

$N_i$  = # DE IMPUREZAS

$g$  = fator de Landé

$J$  = MOMENTO ANGULAR TOTAL

$\mu_B$  = MAGNETON DE BOHR

$g^2 J(J+1) \equiv \rho^2$  = ASSINATURA DO ÍON

# O modelo de impureza de Anderson

VÁRIAS SIMPLIFICAÇÕES.

i) PARA REPRESENTAR O METAL: UMA BANDA PARCIALMENTE PREENCHIDA DE ELETRONS COM SPIN  $\uparrow\downarrow$ :

$$H_0 = \sum_{\vec{k}, \sigma} \epsilon_{\vec{k}} c_{\vec{k}\sigma}^\dagger c_{\vec{k}\sigma}$$

NÃO IMPORTA MUITO A DISPERSAÇÃO.

ii) PARA DESCREVER A IMPUREZA: UM NÍVEL ("d") NÃO DEGENERADO A NÃO SER PELO SPIN.

$$H_0' = E_d \sum_{\sigma} d_{\sigma}^\dagger d_{\sigma} \quad (\text{ENERGIA DO ORBITAL})$$

$$H_2 = U \sum_{\sigma} M_{\sigma\sigma}$$

$$M_{\sigma\sigma} = d_{\sigma}^\dagger d_{\sigma}$$

$t_{\sigma\sigma}$  (REPULSÃO COULOMBIANA)

iii) HIBRIDIZAÇÃO ENTRE O NÍVEL LOCALIZADO  
E A BANDA:

$$H_2 = \sum_{\vec{k}\sigma} (V_{\vec{k}} c_{\vec{k}\sigma}^{\dagger} d_{\sigma} + V_{\vec{k}}^* d_{\sigma}^{\dagger} c_{\vec{k}\sigma})$$

"HOPPING" ENTRE O ORBITAL d E A BANCA.  
FREQUENTEMENTE:  $V_k \rightarrow V \in \mathbb{R}$

$$H = H_0 + H_0' + H_2 + H_2'$$

# O caso não interagente: uma ressonância não magnética

LIMITE  $U=0$  :  $H_0 + H_0^\dagger + H_1 = \sum_{k\sigma} \epsilon_k c_{k\sigma}^\dagger c_{k\sigma} + \epsilon_d c_{d\sigma}^\dagger c_{d\sigma} + \sqrt{\sum_{k\sigma} (c_{k\sigma}^\dagger c_{k\sigma} + h.c.)}$

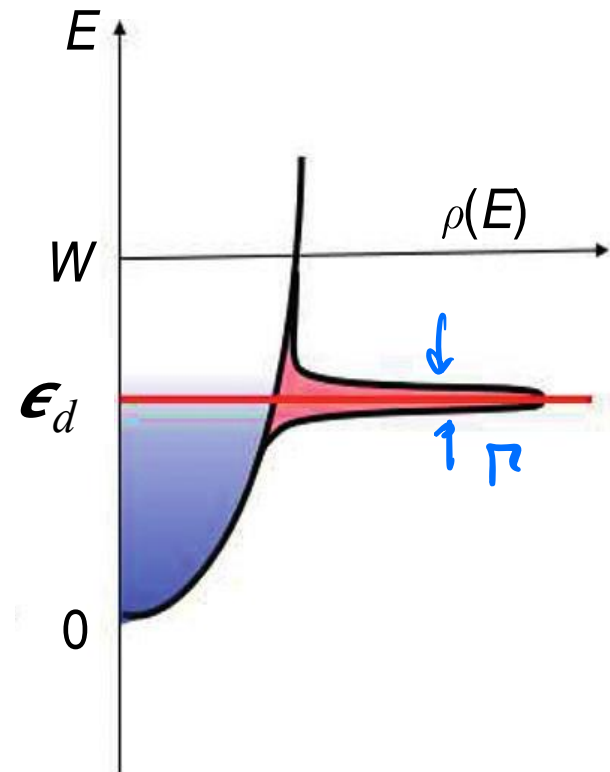
MODELO QUADRÁTICO : SOLUÇÃO SIMPLES  
(PROBLEMA DA LISTA)

$$S_d(\omega) = \sum_n |\langle n | d \rangle|^2 \delta(\omega - E_n)$$

$|n\rangle, E_n$  : AUTO-ESTADO E  
AUTO-VALOR EXATOS

$$S_d(\omega) = \frac{\Gamma/\pi}{(\omega - \epsilon_d)^2 + \Gamma^2}; \Gamma = \pi S_c(\epsilon_d) V^2$$

$S_c(\epsilon_d)$  = DENSIDADE DE ESTADOS DA BANDA EM  $\epsilon_d$



$$|\psi\rangle = \alpha |d\rangle + \sum_k \beta_k |\vec{k}\rangle$$

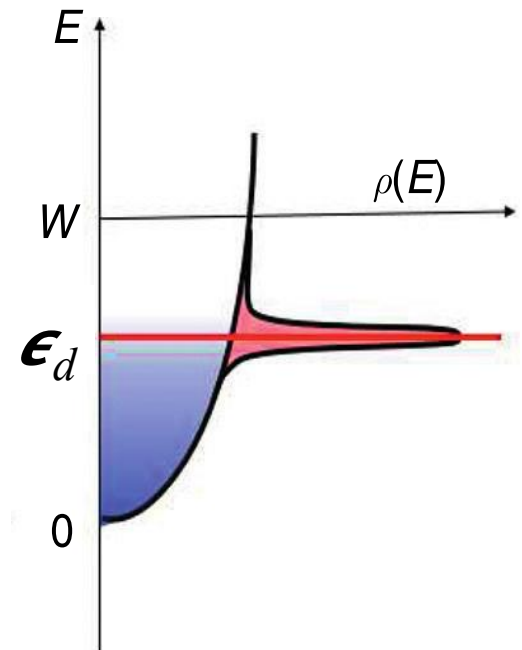
O NÍVEL d SANTANA VIRA "LARGURA" / MÉIA-VIDA  
DADA POR  $R/1\gamma_R$ .

# Formação de momentos magnéticos localizados em metais

## Modelo de impureza única de Anderson

$$H_{SIAM} = \sum_{\mathbf{k}\sigma} \epsilon(\mathbf{k}) c_{\mathbf{k}\sigma}^\dagger c_{\mathbf{k}\sigma} + \sum_{\sigma} \epsilon_d d_{\sigma}^\dagger d_{\sigma} + \sum_{\mathbf{k}\sigma} \left( V_{\mathbf{k}} c_{\mathbf{k}\sigma}^\dagger d_{\sigma} + \text{h.c.} \right) + U \sum_{\sigma} d_{\uparrow}^\dagger d_{\uparrow} d_{\downarrow}^\dagger d_{\downarrow}$$

a) Limite não interagente ( $U=0$ ):  
Uma ressonância em  $\epsilon_d$  com  
largura  $\Gamma = \pi \rho_c(\epsilon_d) |V_{\mathbf{k}}|^2$   
Não há momento magnético



LIMITE ATÔMICO:  $V_{k=0}$ , BANCA E NÍVEL d SE  
DESACOPLAG:

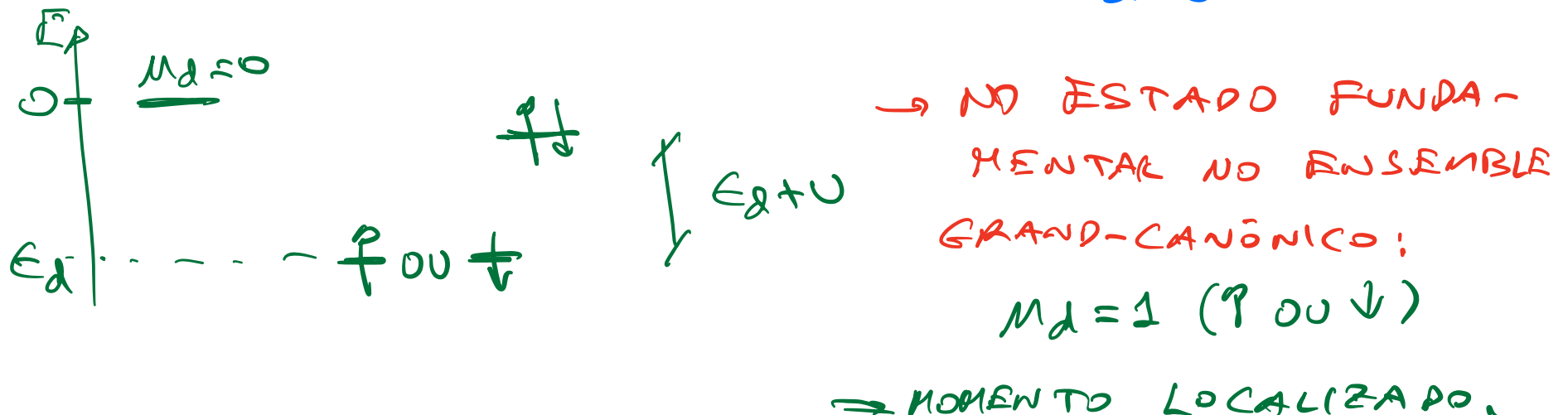
$$H'_0 + H_2 = E_d \sum_i \hat{n}_{d\sigma} + U \hat{n}_{d\uparrow} \hat{n}_{d\downarrow}$$

$$M_d=0: E_0=0$$

$$M_d=1 (P\ 0\ 0\ \downarrow): E_1 = E_d \quad (\text{DEGENERADO}; g=2)$$

$$M_d=2: E_2 = 2E_d + U$$

$$\text{CASO FAVORÁVEL: } E_d < 0 \quad \text{E } E_d + U > 0$$



$$\epsilon_d < 0 \quad (1)$$

$$\epsilon_d + U > 0 \quad (2)$$

REDEFINING:

$$\tilde{\epsilon}_d = \epsilon_d + \frac{U}{2}$$

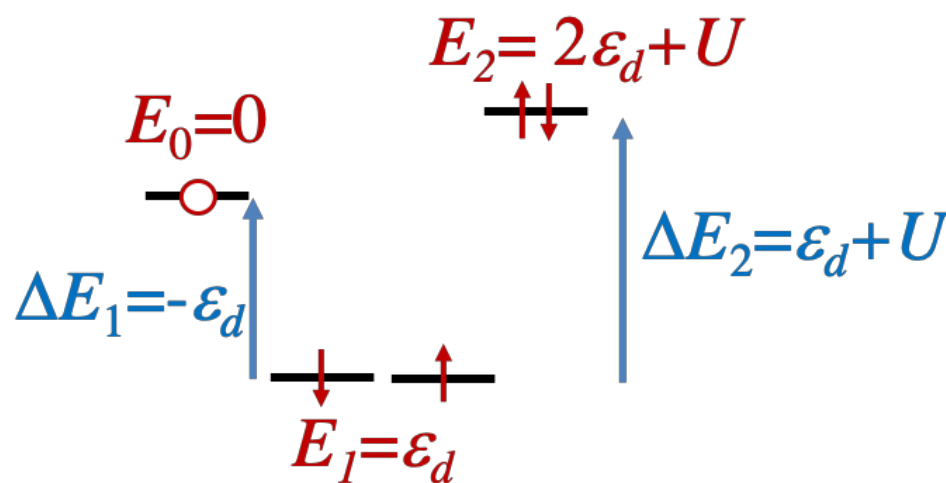
$$\Rightarrow (1) \quad \tilde{\epsilon}_d - \frac{U}{2} < 0 \Rightarrow \boxed{\tilde{\epsilon}_d < \frac{U}{2}}$$

$$\Rightarrow (2) \quad \tilde{\epsilon}_d - \frac{U}{2} + U = \tilde{\epsilon}_d + \frac{U}{2} > 0$$

$$\Rightarrow \boxed{\tilde{\epsilon}_d > -\frac{U}{2}}$$

# Formação de momentos magnéticos localizados em metais

b) Limite atômico ( $V_{\mathbf{k}}=0$ ): impureza desacoplada da banda.



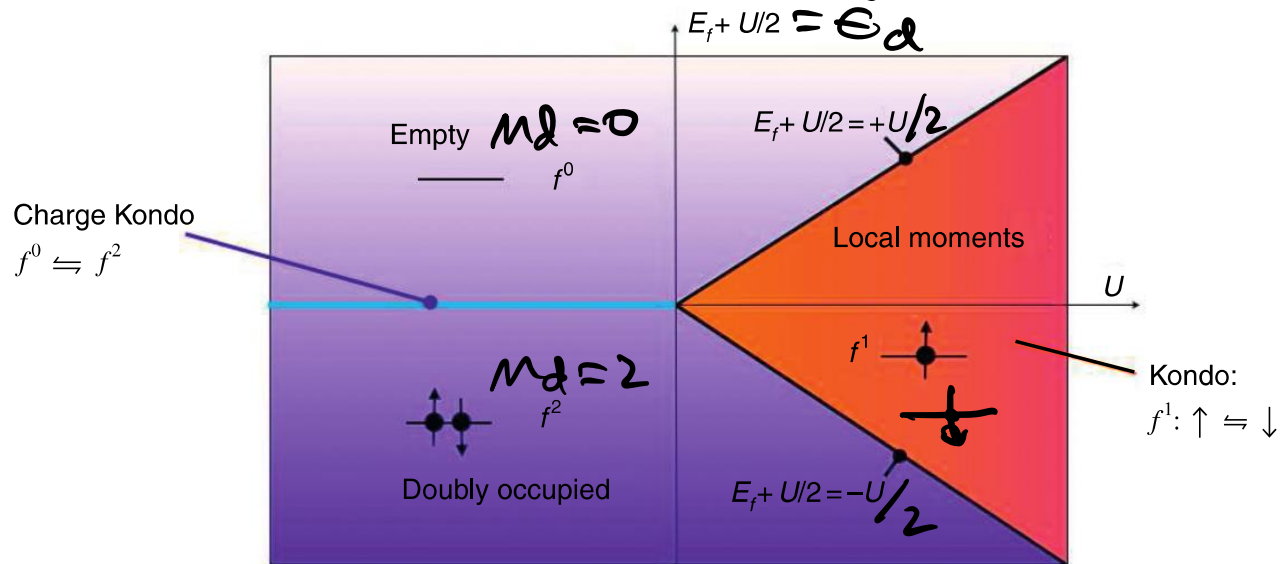
Condição para formação de momento magnético

$$\tilde{\epsilon}_d = \epsilon_d + \frac{U}{2}$$

$$\boxed{\begin{aligned}\Delta E_1 &> 0 \Rightarrow \epsilon_d < 0 \Rightarrow \tilde{\epsilon}_d < \frac{U}{2} \\ \Delta E_2 &> 0 \Rightarrow \epsilon_d > -U \Rightarrow \tilde{\epsilon}_d > -\frac{U}{2}\end{aligned}}$$

# Formação de momentos magnéticos localizados em metais

b) Limite atômico ( $V_k = 0$ ): impureza desacoplada da banda.



Condição para formação de momento magnético

$$\tilde{\epsilon}_d = \epsilon_d + \frac{U}{2}$$

$$\boxed{\begin{aligned} \Delta E_1 &> 0 \Rightarrow \epsilon_d < 0 \Rightarrow \tilde{\epsilon}_d < \frac{U}{2} \\ \Delta E_2 &> 0 \Rightarrow \epsilon_d > -U \Rightarrow \tilde{\epsilon}_d > -\frac{U}{2} \end{aligned}}$$

# A teoria de campo médio

(P. W. Anderson, Phys. Rev. 124, 41 (1961))

$$H_2 = \cup \hat{n}_{d\sigma} \hat{n}_{d\downarrow}$$

$$\hat{n}_{d\sigma} = \langle \hat{n}_{d\sigma} \rangle + \hat{\delta}_\sigma = \text{VALOR MÉDIO} + \text{FLUTUAÇÃO}$$

$$\hat{n}_{d\sigma} \hat{n}_{d\downarrow} = (\langle \hat{n}_{d\sigma} \rangle + \hat{\delta}_\sigma) (\langle \hat{n}_{d\downarrow} \rangle + \hat{\delta}_\downarrow) \quad \text{DESPREZO}$$

$$= \langle \hat{n}_{d\sigma} \rangle \langle \hat{n}_{d\downarrow} \rangle + \langle \hat{n}_{d\sigma} \rangle \hat{\delta}_\downarrow + \langle \hat{n}_{d\downarrow} \rangle \hat{\delta}_\sigma + \underbrace{\hat{\delta}_\sigma \hat{\delta}_\downarrow}$$

$$\simeq \langle \hat{n}_{d\sigma} \rangle \langle \hat{n}_{d\downarrow} \rangle + \langle \hat{n}_{d\sigma} \rangle (\hat{n}_{d\downarrow} - \langle \hat{n}_{d\downarrow} \rangle) +$$

$$+ \langle \hat{n}_{d\downarrow} \rangle (\hat{n}_{d\sigma} - \langle \hat{n}_{d\sigma} \rangle)$$

$$= \langle \hat{n}_{d\sigma} \rangle \hat{n}_{d\sigma} + \langle \hat{n}_{d\sigma} \rangle \hat{n}_{d\downarrow} - \langle \hat{n}_{d\sigma} \rangle \langle \hat{n}_{d\downarrow} \rangle$$

$$= \sum_\sigma \langle \hat{n}_{d\sigma} \rangle \hat{n}_{d\sigma} - \langle \hat{n}_{d\sigma} \rangle \langle \hat{n}_{d\downarrow} \rangle$$

$$\begin{aligned}
 H_{MF} = & \sum_{k\sigma} \epsilon_k C_{k\sigma}^+ C_{k\sigma} + V \sum_{R,r} (C_{k\sigma}^+ d_{r\sigma} \text{d.o.f.c.}) \\
 & + \underbrace{\sum_{\sigma} (\epsilon_d + V \langle \hat{n}_{d\sigma} \rangle) \hat{n}_{d\sigma}}_{\bar{E}_{d\sigma}} + \underbrace{V \langle n_{d\sigma} \rangle \langle n_{d\sigma} \rangle}_{\text{CONST.}}
 \end{aligned}$$

O MODELO AGORA É FORMALMENTE IDÊNTICO AO CASO  $V=0$ , JÁ DISCUTIDO, MAS O NÍVEL DE AGORA TEM ENERGIA  $\bar{E}_{d\sigma} = \epsilon_d + V \langle n_{d\sigma} \rangle$ , QUE, EM PRINCÍPIO, DEPENDE DE  $\sigma$ . A TEORIA DE CAMPO MÉDIO REQUER AUTOR-CONSISTÊNCIA: POR EXEMPLO, EM  $T=0$

$$\langle \hat{n}_{d\sigma} \rangle = \langle \hat{\rho}_0(\langle \hat{n}_{d\sigma} \rangle) | \hat{n}_{d\sigma} | \hat{\rho}_0(\langle \hat{n}_{d\sigma} \rangle) \rangle \quad (3)$$

ONDE O ESTADO FUNDAMENTAL:

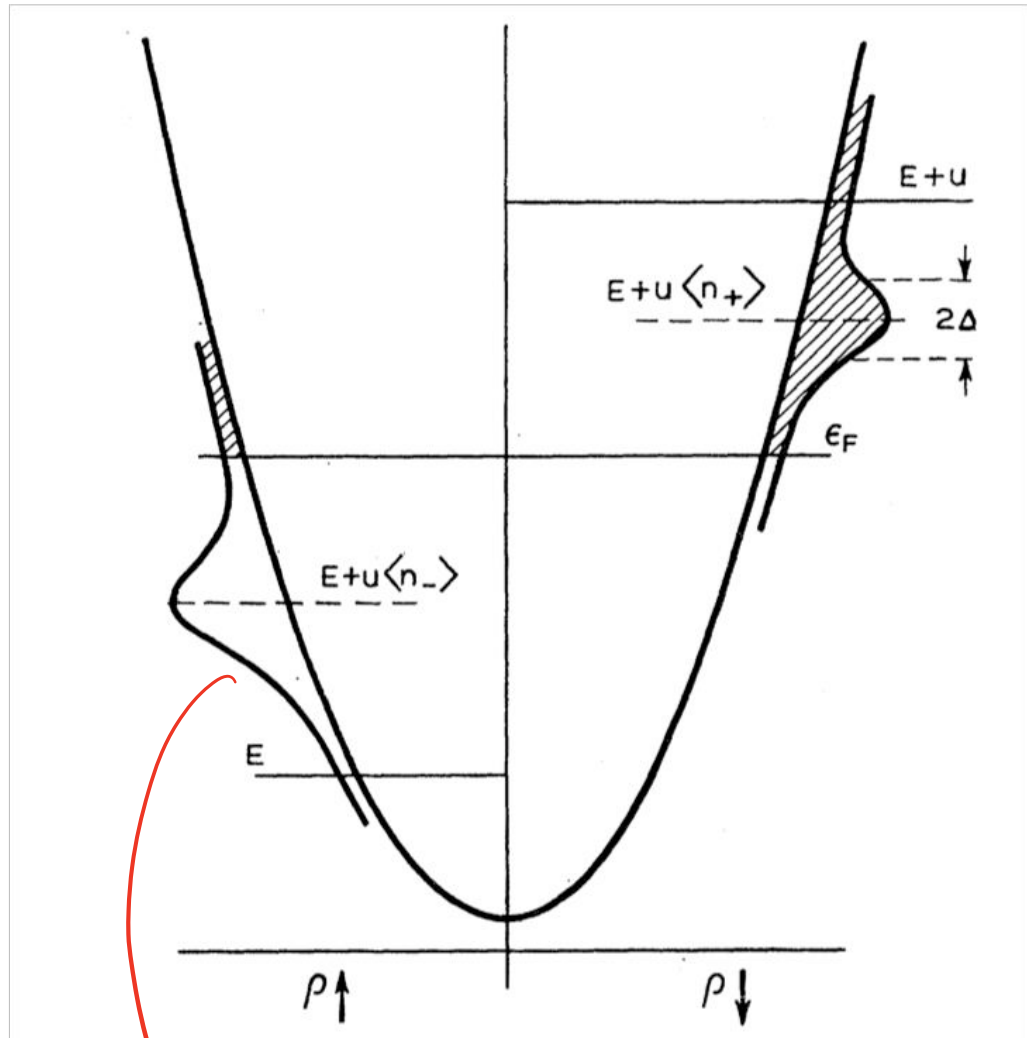
$$|\psi_0(\hat{n}_d)\rangle$$

E' SOLUÇÃO DE:

$$H[\langle \hat{n}_d \rangle] |\psi_0(\langle \hat{n}_d \rangle)\rangle = E_0[\langle \hat{n}_d \rangle] |\psi_0(\langle \hat{n}_d \rangle)\rangle$$

A EQ. (3) SÓ TERÁ SOLUÇÃO PARA DETERMINADOS VALORES DE  $\langle \hat{n}_d \rangle$  E  $\langle \hat{n}_d \rangle$   
PARA  $T > 0$ , USA-SE A MÉDIA TÉRMICA.

$$E \equiv \epsilon_d$$



$$\langle M_{d\uparrow} \rangle \approx 1$$

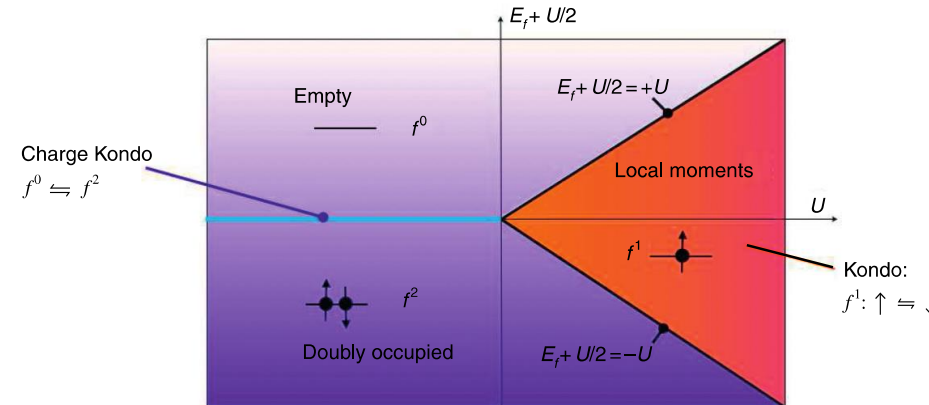
$E \equiv \epsilon_d$   
 O CASO AO LADO  
 CORRESPONDE A  
 $\langle M_{d\uparrow} \rangle \approx 1$   
 $\langle M_{d\downarrow} \rangle \approx 0$   
 NA MESMA REGIÃO,  
 HÁ UMA OUTRA  
 SOLUÇÃO, DE NESCA  
ENERGIA, COM:

$$\langle M_{d\uparrow} \rangle \approx 0$$

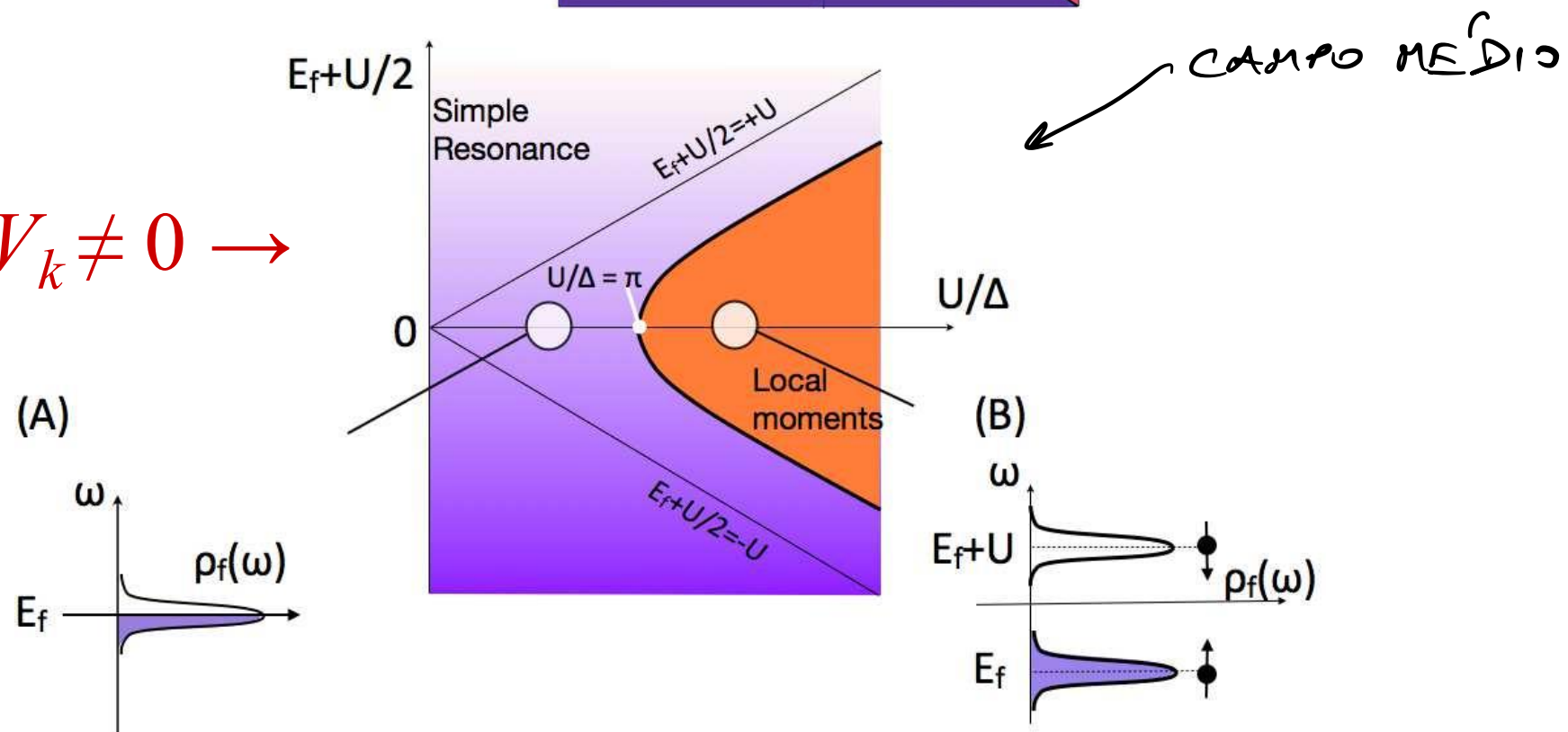
$$\langle M_{d\downarrow} \rangle \approx 1$$

# Diagrama de fases de campo médio para o Modelo de Impureza de Anderson

Caso  $V_k = 0 \rightarrow$



Caso  $V_k \neq 0 \rightarrow$



# Transição de fase em dimensão 1 ?!

AS DUAS SOLUÇÕES REPRESENTAM UMA QUEBRA ESPONTÂNEA DE SIMETRIA (EM  $T=0$  OU  $T>0$ ).

O MODELO PODE SER REESCRITO COMO UM MODELO 1D. E NÃO É POSSÍVEL TER QES EM 1D COM INTERAÇÕES DE CURTO ALCANCE.

EM 2<sup>ª</sup> ORDEM EM TEORIA DE PERTURBAÇÃO O SPIN LOCALIZADO PODE FLIPAR. ESSES PROCESSOS, EM BAIXAS TEMPERATURAS, NÃO RESTAURAR A ORDEM QUEBRADA.